



Ανίχνευση καθιζήσεων

και προσδιορισμός του Πεδίου τους στην Περιοχή του Μοσχάτου

του Γ.Δ.Γεωργόπουλου

Εισαγωγή

Οι μελέτες των μετακινήσεων τημάτων του εδάφους και των φέροντα οργανισμού των κατασκευών, δίνουν την δυνατότητα παρακολούθησης της μικροκινηματικής περιοχών και τεχνικών έργων, με αποτέλεσμα την πρόληψη δυσμενών καταστάσεων και την έγκαιρη αντιμετώπιση σοβαρών αστοχιών με τεράστιο κοινωνικό και οικονομικό κόστος.

Τα τελικά συμπεράσματα των παραπάνω μελετών είναι δυνατόν να θεωρηθούν ως αποτελέσματα πειραμάτων,

που έγιναν σε φυσική κλίμακα και σε πραγματικές συνθήκες. Ενδιαφέρονται επιστήμες από την περιοχή της Γεωτεχνικής και της Μηχανικής των κατασκευών. Μπορούν να αποτελέσουν στοιχεία σε μελέτες μικροξωνικής περιοχών ή και απόκρισης ειδικών κατασκευών σε εδάφη υψηλής σεισμικής επικινδυνότητας.

Σημαντικό μέγεθος στην παρακολούθηση της μικροκινηματικής των περιοχών, είναι η καθίζηση. Αυτή οφείλεται ως η κατακόρυφη μετακίνηση που πραγματοποιείται στο εδαφικό στρώμα, λόγω επιβολής φορτίων στην επιφάνεια του.

Η καθίζηση οφείλεται στην αύξηση των ενεργών τάσεων, στο εσωτερικό του εδαφικού στρώματος, λόγω της φρότισης και έχει συνήθως δύο συνιστώσες, για την περίπτωση συνεκτικού εδαφικού υλικού, την άμεση ή ελαστική καθίζηση και την καθίζηση λόγω στερεοποίησης.

Τα αύτα των καθιζήσεων των εδαφών είναι οι φρότισεις, στατικές και δυναμικές, που προκαλούν συμπτώση του εδαφικού υλικού, οι μεταβολές των υδρολογικών συνθηκών στις περιοχές, οι διεργασίες που είναι δυνατό να συμβούν στο εσωτερικό του εδαφικού στρώματος (διανοίξεις σηρόγγων, μεταλλευτικές εργασίες, σεισμικές δράσεις κ.λ.π.).

Η μελέτη των καθιζήσεων, περιλαμβάνει τον προσδιορισμό των μεγέθους τους, καθώς και την παρακολούθηση της εξέλιξής τους με τον χρόνο, ώστε να γίνει δυνατή, με βάση τη θεωρία της στερεοποίησης και με τη βοήθεια της θεωρίας της ελαστικότητας, η πρόβλεψη του φαινομένου.

Η γεωδαισία, με τα δραγματικά ακριβείας που διαθέτει και τη μεθοδολογία που χρησιμοποιεί, έχει τη δυνατότητα εντοπισμού και προσδιορισμού των καθιζήσεων με προκαθορισμένη ακριβεία και δεδομένο επίπεδο εμπιστοσύνης. Για τον σκοπό αυτό, γίνονται διαχρονικές παρατηρήσεις, σε επιλεγμένα σημεία ελέγχου, οι μετρήσεις συγκρίνονται με παλαιότερες για να εντοπισθεί η στατιστική σημαντική μετακίνηση και να προσδιορισθεί το μέγεθός της, μεταξύ δύο διαδοχικών φάσεων.

Οι μελέτες των καθιζήσεων, αποκτούν ιδιαίτερο ενδιαφέρον σε πυκνοδομημένες περιοχές, που βρίσκονται σε χαλαρά εδάφη. Το Μοσχάτο είναι μια περιοχή με έντονα αστικό χαρακτήρα, που τα τελευταία χρόνια έχει δεχθεί μεγάλες γεωτεχνικές επιδράσεις. Μερικές από τις περισσότερο σημαντικές δράσεις, είναι :

- Οι εργασίες βελτίωσης της αντοχής του εδάφους, οι οποίες έγιναν

Ο Γ.Δ. Γεωργόπουλος είναι Επιστήμονας Τοπογράφος του Τμήματος Αρχοντών Τοπογράφων Μηχανικών Ε.Μ.Π. Το άρθρο αυτό αποτελεί τμήμα από τη δημοσίευση με τίτλο «Εντοπισμός καθιζήσεων στην περιοχή του Μοσχάτου», που έγινε στο δελτίο του ΚΕΔΕ τ. 107-108/1990. Σ' αυτή γινόταν αναφορά σε καθιζήσεις, που είχαν εντοπισθεί και είχαν προσδιορισθεί με την Γεωδαιτική μεθοδολογία, στην περιοχή του Μοσχάτου. Οι μετρήσεις στα σημεία ελέγχου, έγιναν τον Απρίλιο 1989.

A/A	ΚΩΔΙΚΟΣ	ΥΨΟΜΕΤΡΟ	ΥΠΗΡΕΣΙΑ
1	5189	2.740	ΕΥΔΑΠ
2	5204	1.979	ΕΥΔΑΠ
3	5193	2.183	ΕΥΔΑΠ
4	5205	1.848	ΕΥΔΑΠ
5	5178	3.084	ΕΥΔΑΠ
6	5194	2.032	ΕΥΔΑΠ
7	5196	2.008	ΕΥΔΑΠ
8	5213	2.136	ΕΥΔΑΠ
9	53	5.349	Δ.Κ.
10	52	3.606	Δ.Κ.
11	109	4.546	Δ.Κ.
12	110	4.276	Δ.Κ.
13	5355	3.470	ΕΥΔΑΠ
14	5383	2.724	ΕΥΔΑΠ

με τη μέθοδο της δυναμικής συμπύκνωσης, στην περιοχή του σταδίου Ειρήνης και Φιλίας, που βρίσκεται κοντά στην παραλιακή ζώνη του Μοσχάτου.

- Τα τεχνικά έφγα διευθέτησης της κοίτης του ποταμού Κηφισού.
- Οι σημαντικές, σε έκταση, επιχωματώσεις, κατά μήκος της παραλιακής ζώνης, που εκτείνονται και στη θαλάσσια περιοχή.
- Ο έντονος κυκλοφοριακός φόρτος, τόσο της παραλιακής ζώνης με βαριά οχήματα, όσο και του εσωτερικού της περιοχής.
- Τέλος, τα φροτία των κατασκευών (μεγάλη κάλυψη, μεγάλο ύψος κτιρίων).

Ολοι οι παραπάνω λόγοι, σε συνδυασμό με το γεωλογικό υπόβαθρο, οδηγούν στην άποψη ότι θα πρέπει να έχουν εκδηλωθεί σημαντικές καθιέρωσις τα τελευταία χρόνια στην περιοχή που μελετάται. Την άποψη αυτή στηρίζουν και οργαμές που υπάρχουν σε κατασκευές, λόγω της παραμόρφωσης της ανωδομής.

Περιοχή Μελέτης - Θέσεις Σημείων Ελέγχου

Η περιοχή μελέτης βρίσκεται βορειοανατολικά του σταδίου Ειρήνης και Φιλίας, ορίζεται δυτικά από τον ποταμό Κηφισό, ανατολικά από τον ποταμό Πλούτο, βόρεια εκτείνεται μέχρι

την οδό Ομήρου, περόπου 500 m από την παραλιακή λεωφόρο (χάρτης 1.). Το συνολικό εμβαδόν της είναι περίπου 600 στρέμματα .

Στην περιοχή αναγνωρίσθηκαν και χρησιμοποιήθηκαν 14 σημεία ελέγχου (παλιές υψομετρικές αφετηρίες) τα υψόμετρα των οποίων χορηγήθηκαν από την Ε.Υ.Δ.Α.Π και τον Δ.Καλλιθέας. Ο κωδικός αριθμός κάθε σημείου, το υψόμετρό του καθώς και η υπηρεσία που το παραχώρησε, δίνονται στον πίνακα 1.

Οι θέσεις των σημείων ελέγχου, παρουσιάζονται στο χάρτη 1.

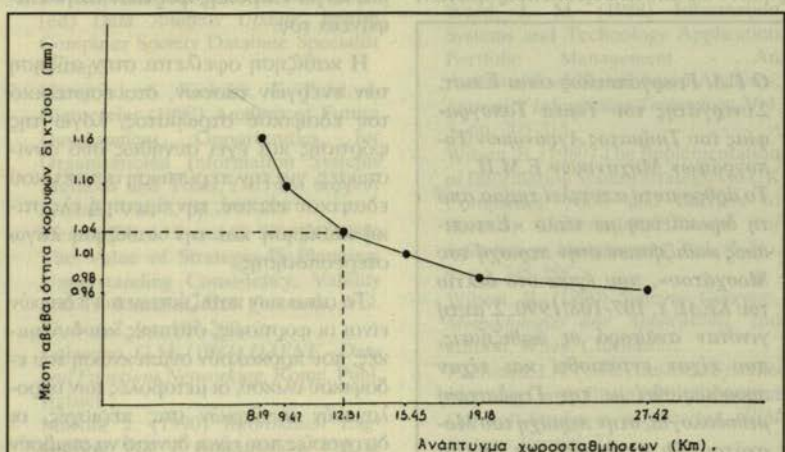
Κατά την επιλογή του δικτύου των 14 σημείων κατακορύφου ελέγχου, ως σταθερή κορυφή, θεωρήθηκε η κορυφή R 1 του Υ.Δ.Ε που βρίσκεται στην εκκλησία Παναγία Μυρτιδιώτισσα, δυτικά του σταδίου Ειρήνης και Φιλίας (χάρτης 1.). Το υψόμετρο της κορυφής R 1 είναι $H_1 = 2.850$ m.

Γεωλογικό Υπόβαθρο της Περιοχής Μελέτης

Το γεωλογικό υπόβαθρο της ευρυτερής περιοχής, αποτελείται από εναλλασσόμενες στρώσεις τεφρώς, υπότεφρης, μελανότεφρης μαλακής αργιλού, ιλυώδους άμμου και αμμώδους ιλύος. Συχνά παρουσιάζονται οργανική υλή και μικροπαλιθώματα που σε συνδυασμό με την υπάρχουσα αμμούλη, φανερώνουν την ύπαρξη θάλαισσας ή λιμνοθάλασσας, κατά τους πράσιφατους ιστορικούς χρόνους. Οι παραπάνω σημαντικοί συγχρόνως διακόπτονται από ιλικά επιχωμάτωσης ή και πρόσφατες αποθέσεις του ποταμού Κηφισού.

Το πάχος των παραπάνω σημαντικού είναι από 10 m μέχρι 20 m στην περιοχή μελέτης. Αυτοί ταξινομούνται κατά USCS ως άγγιλοι μέσης και υψηλής πλαστικότητας (CL-CH), ιλυάργιλοι (CL-ML), ιλυώδεις άμμοι (SM) και ιλύες (ML).

Το γεωλογικό υπόβαθρο της περιοχής από την παραλία μέχρι τη λαχαναγορά, παρουσιάζει γενικά ομοιομορφία στα χαρακτηριστικά του, παρά τις τοπικές διαφορές.



Διάγραμμα 1. Διάγραμμα βελτιστοποίησης.

Η τυπική γεωλογική τομή, παρουσιάζει την παραπάτω μορφή.

- Αρχικά παρατηρείται επιφανειακό στρώμα προσχύσεων, πάχους, περίπου, 2 m.
- Ακολουθεί μέτρια συνεκτικό στρώμα μερικών βάθους 8 m.
- Βαθύτερα παρουσιάζεται αργιλικό στρώμα, πάχους 2 m - 5 m.
- Στη συνέχεια βρίσκεται πυκνό στρώμα ίλιναμιώδες μέχρι αμμοχαλικώδες, πάχους περίπου 6 m.
- Πιο κάτω συναντάται στρώμα αργιλοαμμιώδες μέχρι ίλινώδες μειωμένης αντοχής, πάχους περίπου 2 m.
- Ακολουθεί στρώμα πολύ πυκνής αμμοΐλινος, που προσφέρεται για έδραση βαθειάς θεμελίωσης.
- Τέλος, σε βάθη πάτω από 30 m. συναντάται κροκκαλοπαγές ή μαργαράκο στρώμα.

Από γενικές επικινήσεις, γεωτεχνικού χαρακτήρα, η ύπαρξη της αργιλλού στη περιοχή, δημιουργεί προβλήματα, λόγω καθίζησεων, στις κατασκευές με μεμονωμένα πέδιλα. Οι σημαντικές διαφορικές καθίζησεις που παρατηρούνται κάτω από στατικές φρεσίσεις λόγω της ανομοιομορφίας

του εδάφους, είναι δυνατό να καταπονήσουν τον φέροντα οργανισμό των κατασκευών με φρεσίσεις που δεν έχουν ληφθεί υπόψη κατά τη φάση της μελέτης.

όπου:

σ_0 η πριορί τυπικό σφάλμα της μονάδας βάρους 1 mm/Km.

A ο πίνακας των συντελεστών των αγνώστων στις εξισώσεις παρατηρησης.

P ο πίνακας των βαρών.

A^T ο ανάστροφος του πίνακα A.

η μέση αβεβαιότητα των σημείων του δικτύου κατακορύφου ελέγχου, είναι

$$\sigma = (\text{tr } V \hat{x} / m)^{(1/2)}$$

όπου:

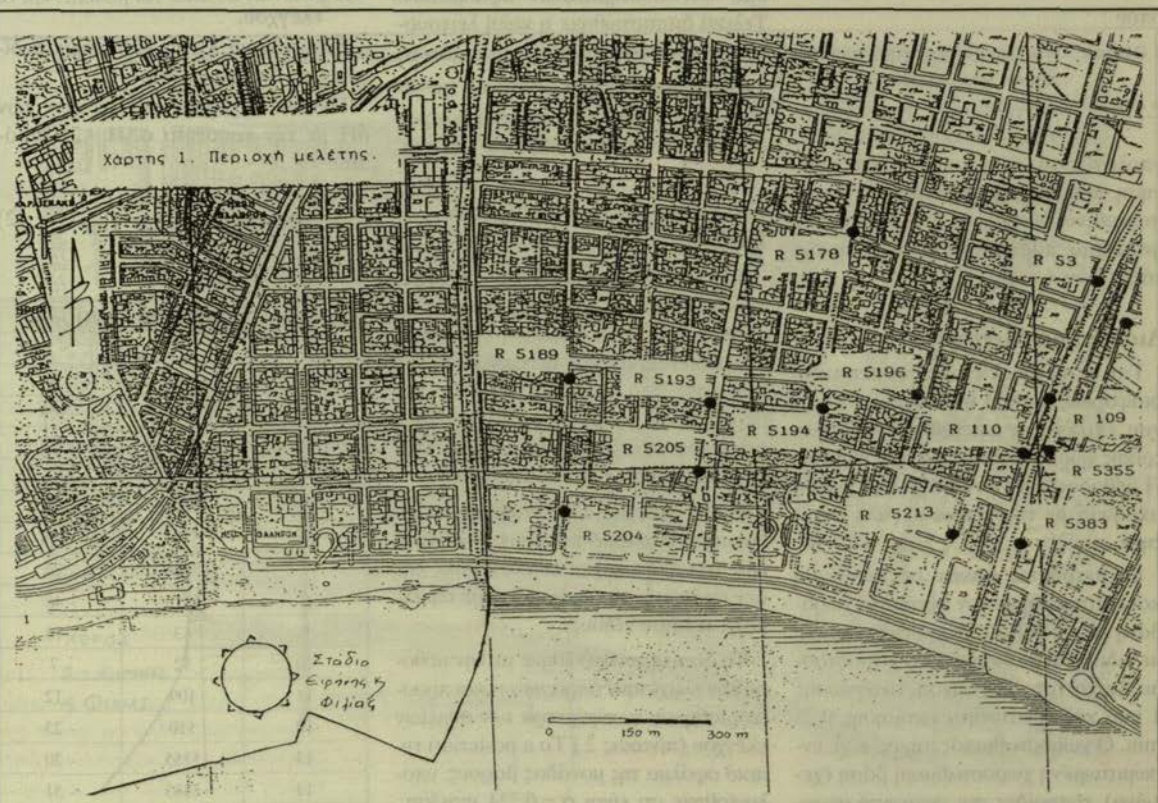
tr $V \hat{x}$ το ίχνος του πίνακα $V \hat{x}$.

m το πλήθος των σημείων ελέγχου.

Από το διάγραμμα 1, έγινε επιλογή εκείνου του μοντέλου των παρατηρήσεων, που παρουσιάζει τη μέση αβεβαιότητα σ των σημείων του δικτύου κατακορύφου ελέγχου, σε συνάρτηση με το ανάπτυγμα των χωροσταθμικών οδεύσεων. Τελικά, αποφασίσθηκε να γίνουν χωροσταθμίσεις συνολικού αναπτύγματος 12310 m.

Με βάση την μέση αβεβαιότητα (1.04 mm) του δικτύου, που τελικά επιλέγθηκε να μετρηθεί, είναι δυνατό να

$$V \hat{x} = \sigma_0^2 * (A^T * P * A)^{-1}$$



Πίνακας 2. Τελικά υψηλότερα σημείων ελέγχου.

A/A	ΚΩΔΙΚΟΣ	ΥΨΟΜΕΤΡΟ (m)	ΑΒΕΒΑΙΟΤΗΤΑ (mm)
1	5189	2.864	0.667
2	5204	1.870	0.652
3	5193	2.107	0.692
4	5205	1.761	0.701
5	5178	3.037	0.757
6	5194	1.914	0.734
7	5196	1.934	0.761
8	5213	2.088	0.764
9	53	5.336	0.795
10	52	3.599	0.805
11	109	4.534	0.796
12	110	4.253	0.796
13	5355	3.450	0.786
14	5383	2.693	0.810

προσδιορισθεί η ελάχιστη μετακίνηση δΗ που μπορεί το συγκεκριμένο δίκτυο να ανιχνεύσει, με πιθανότητα 99%, σε μεταγενέστερη φάση μετρησης.

Από τη σχέση :

$$\delta H \geq (1.04^2 + 1.04^2)^{(1/2)} * 2.576 = 3.79 \text{ mm}$$

όπου :

1.04mm η μέση αβεβαιότητα των σημείων του δίκτυου
 2.576 συντελέστης τυποποιημένης κανονικής κατανομής υπολογίζεται από τη μικρότερη μετακίνηση, που μπορεί να ανιχνευθεί με το παραπάνω δίκτυο, σε δύο διαδοχικές φάσεις με πιθανότητα 99%, είναι της τάξης των 4 mm.

Διαδικασία Μετρήσεων

Για τις μετρήσεις των υψηλοτερών διαφορών, μεταξύ των σημείων ελέγχου, επιλέχθηκε η μέθοδος της γεωμετρικής χωροστάθμισης με τρία νήματα. Η μέθοδος αυτή συνδυάζει την υψηλή ακρίβεια με τη σχετικά μεγάλη ταχύτητα.

Οι μετρήσεις έγιναν σε μετάβαση και επιστροφή με τον αυτόματο χωροβάτη NA 2 WILD, που συνδυάζεται με ειδικά κατασκευασμένο χωροσταθμικό πήχυ (σταδία) άμεσης ανάγνωσης 1 mm και δυνατότητα εκτίμησης 0.25 mm. Ο χωροσταθμικός πήχυς, εύχε ενσωματωμένη χωροσταθμική βάση (χελώνα), αντηρίδες και σφαιρική αερο-

στάθμη, για την ασφαλή έδραση και την ακριβή κατακορύφωσή του, κατά τη διάρκεια της μετρησης.

Τα δραγανα που χρησιμοποιήθηκαν ελέγχθηκαν πριν και μετά τις μετρήσεις, ως προς την πλήρωση των γεωμετρικών συνθηκών, για τον περιορισμό των συστηματικών σφαλμάτων. Τελικά διαπιστώθηκε η καλή λειτουργία τους κατά τη φάση των μετρήσεων.

Οι εργασίες υπαίθρου έγιναν τον Απρίλιο του 1989 και η ταχύτητα των χωροσταθμίσεων, εκτιμήθηκε σε 500 m/h.

Επεξεργασία των Στοιχείων Πεδίου

Το δίκτυο κατακορύφου ελέγχου, περιλαμβάνει 15 κορυφές από τις οποίες η μια είναι σταθερή (Παναγία Μυρτιδιόπισσα) και οι υπόλοιπες 14 άγνωστες. Στο δίκτυο, οι βαθμοί ελεύθεριας είναι $r = 26 - 14 = 12$ και το αριθμό τυπικού σφαλματικού της μονάδας βάρους θεωρήθηκε $\sigma_0 = 1 \text{ mm/km}$.

Έγινε έλεγχος των παρατηρήσεων για τον εντοπισμό πιθανών χονδροειδών σφαλμάτων και αποδείχθηκε οτι δεν υπάρχουν παρατηρήσεις με σφαλματικά τέτοιου είδους.

Το δίκτυο συνορθώθηκε με την μέθοδο των ελάχιστων τετραγώνων και προσδιορίσθηκαν τα υψηλότερα σημεία των διαφορών ελέγχου (πίνακας 2). Το a posteriori τυπικό σφαλματικού της μονάδας βάρους, υπολογίσθηκε στις είναι $\hat{\sigma} = 0.724 \text{ mm/km}$.

Τέλος έγινε έλεγχος αξιοποιίας της λύσης του δίκτυου με test X^2 για επίπεδο εμπιστοσύνης 95 % με τη σχέση

$$r * \hat{\sigma}^2 / \sigma_0^2 < X_{0.95, r}^2$$

όπου:

$$r = 12$$

$$\hat{\sigma}_0 = 0.724 \text{ mm/km}$$

$$\sigma_0 = 1 \text{ mm/km}$$

$$X_{0.95, 12}^2 = 21$$

Ο έλεγχος έδειξε οτι η λύση γίνεται αποδεκτή, επομένως η αρχική υπόθεση ισχύει.

Εντοπισμός των Καθιζήσεων

Για να εντοπισθούν και να προσδιορισθούν οι καθιζήσεις των κορυφών, υπολογίζονται τα διανύσματα δΗ, από την σχέση:

$$\delta H_i = H_{ti} - H_{0i} \quad (1)$$

όπου:

H_{0i} το αρχικό υψηλότερο του i σημείου ελέγχου.

H_{ti} το τελικό υψηλότερο της i σημείου ελέγχου.

Στον πίνακα 3., για κάθε σημείο, δίνεται το διάνυσμα δH_i .

Γίνεται σύγκριση των μέτρων των δH_i με την ποσότητα $\sigma \Delta H_i * 2.576$, δημοσιεύονται:

$$\sigma \Delta H_i = (\sigma^2 H_{0i} + \sigma^2 H_{ti})^{(1/2)} \quad (2)$$

Πίνακας 3. Διανύσματα δH_i .

A/A	ΚΩΔΙΚΟΣ	δH_i (mm)
1	5189	- .56
2	5204	- 109
3	5193	- .76
4	5205	- .87
5	5178	- .47
6	5194	- 118
7	5196	- .74
8	5213	- .48
9	53	- .13
10	52	- .7
11	109	- .12
12	110	- .23
13	5355	- .20
14	5383	- .31

Πίνακας 4. Καθιξησεις των σημείων ελέγχου.

A/A	ΚΩΔΙΚΟΣ	δH_i (mm)	$\sigma \Delta H_i * 2.576$	ΚΑΘΙΣΗΣΗ
1	5189	56	23.8	+
2	5204	109	23.3	+
3	5193	76	25.0	+
4	5205	87	24.7	+
5	5178	47	27.0	+
6	5194	118	26.2	+
7	5196	74	27.1	+
8	5213	48	27.2	+
9	53	13	28.9	-
10	52	7	28.4	-
11	109	12	28.1	-
12	110	23	28.4	-
13	5355	20	28.8	-
14	5383	31	28.3	+

2.576 ο συντελεστής της πυροποιημένης κανονικής κατανομής για επίπεδο εμπιστοσύνης 99 %.

Η αβεβαιότητα των σημείων ελέγχου σΗ_{ii} στη τελική φάση, είναι γνωστή από την επιλυση του δικτύου (πίνακας 2.).

Η αβεβαίωτητα των οπιμείων ελέγχου σημαίνει ότι αρχική φάση, οι μετρήσεις της οποίας έγιναν πριν από 30 περίπου χρόνια, δεν είναι γνωστή, αλλά μπορεί να εκτιμηθεί, ότι είναι της τάξης των 10 mm.

Από τη σχέση (2), υπολογίζεται το $\sigma_{ΔΗ}$, για κάθε σημείο ελέγχου. Στον

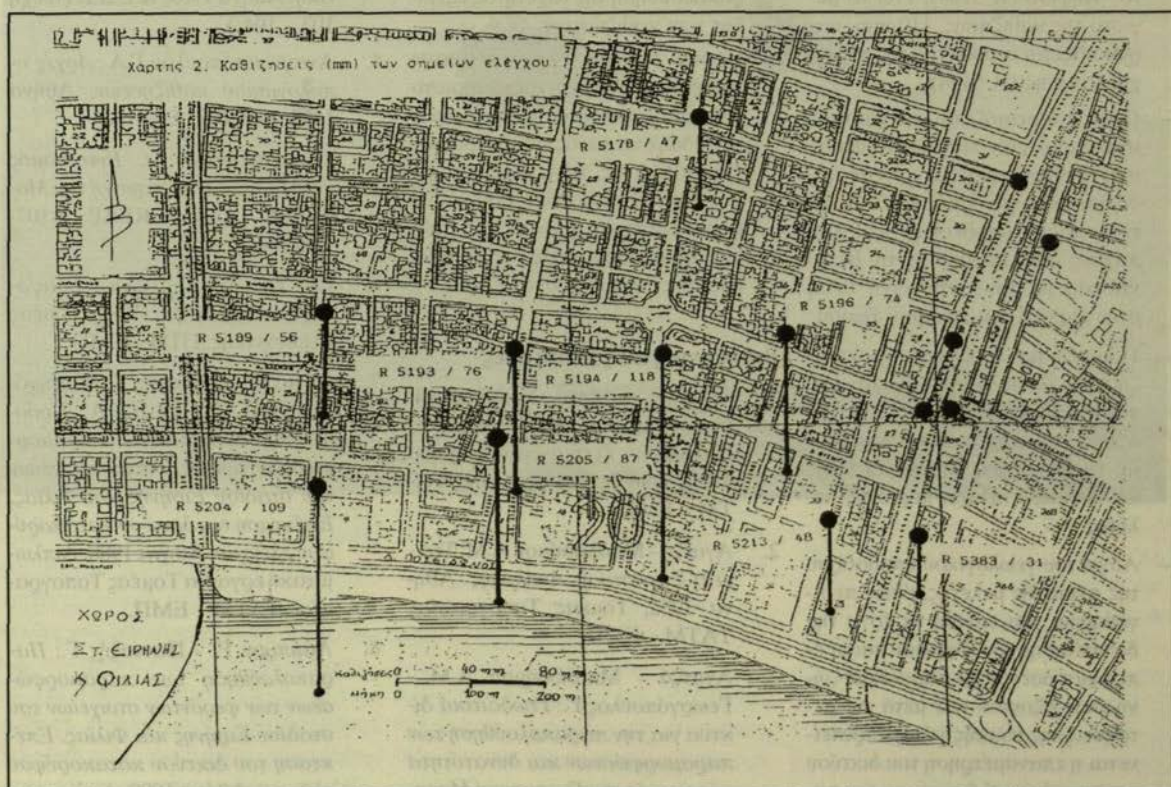
πίνακα 4., που ακολουθεί, δίνοντα για κάθε σημείο ελέγχου, το μέτρο του διανύσματος ΔH , η ποσότητα $\sigma \Delta H$, * 2.576 και γίνεται σύγκριση για να διαπιστωθεί αν υπάρχει καθίζηση. Το σημείο + αυτοτοιχεί σε καθίζηση, όση είναι το μέτρο του ΔH , το οημείο – δηλώνει ότι το ΔH βρίσκεται μέσα στην αβεβαιότητα των μετρήσεων και δεν μπορεί να θεωρηθεί ως καθίζηση.

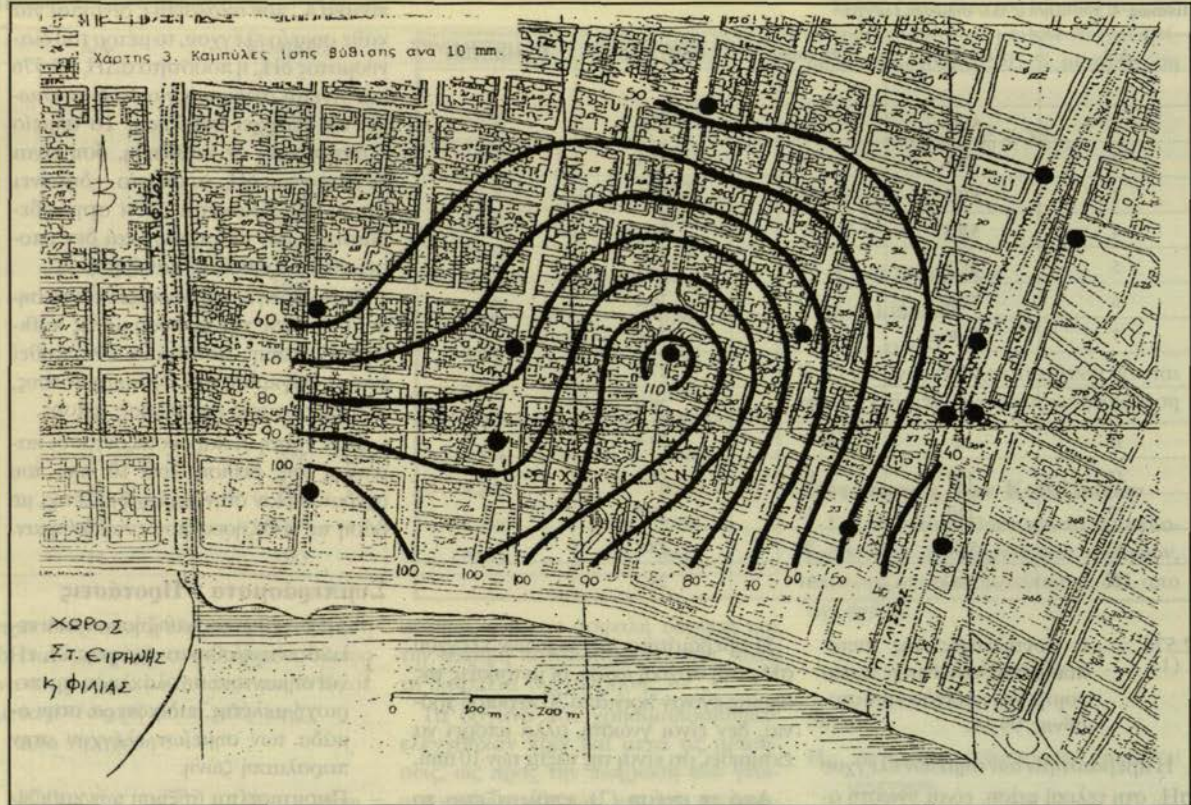
Στον χάρτη 2, παρουσιάζονται τα ομιλεία ελέγχου του δικτύου με τις καθηγήσεις σε πτη, που έχουν εντοπισθεί από τη σύγκριση των υφομέτρων τους, μεταξύ αρχικής και τελικής φάσης.

Στον χάρτη 3, παρουσιάζονται οι καμπύλες ίστης βάθυτης ανά 10 μην, που σχεδιάσθηκαν στην περιοχή μελέτης, με βάση τις καθιέρωσις που εντοπίσθηκαν.

Συμπεράσματα - Προτάσεις

- Τα μεγέθη των καθηγέσεων που τελικά εντοπίσθηκαν (χάρτης 2), είναι σημαντικά σε όλοκληρη την περιοχή μελέτης, ειδικότερα στην ομάδα των σημείων ελέγχου στην παραλιακή ζώνη.
 - Παρατηρείται αύξηση των καθηγέσεων από τον Ιούλιο (R 5383) προς





τον Κηφισό (R 5204), ενώ το μέγιστο της καθιζήσεις, 110 mm, παρουσιάζεται στο κέντρο της περιοχής μελέτης (R 5194).

— Όπως παρουσιάζεται στο χάρτη 2, στην εκβολή του ποταμού Κηφισού ανιχνεύθηκαν μεγάλα μεγέθη καθιζήσεων, γεγονός που επαληθεύει την ύπαρξη αποθέσεων μεγάλου πάχους στην περιοχή αυτή, σε αντίθεση με την αντίστοιχη θέση στην εκβολή του ποταμού Ιλισού.

— Η μορφή των ισοβαθμών των καθιζήσεων, όπως παρουσιάζεται στο χάρτη 3, έχει μορφή συμμετρική με άξονα συμμετρίας που ταυτίζεται με τη διεύθυνση Στάδιο Ειρήνης και Φιλίας - κέντρο περιοχής μελέτης.

— Λόγω του γεωλογικού υπόβαθρου της περιοχής μελέτης, όπως περιγράφηκε, και επειδή τα έργα της διευθέτησης του Κηφισού και οι επιχωματώσεις στην παραλιακή ζώνη συνεχίζονταν και μετά τις μετρήσεις της τελικής φάσης, προτείνεται η επαναέτροπη του δικτύου κατακορύφου ελέγχου, για την πα-

ρακολούθηση της ταχύτητας εξέλιξης των καθιζήσεων.

— Προτείνεται να γίνει συσχέτιση του ειδούς και των χαρακτηριστικών των γεωλογικών σχηματισμών του εδάφους, με τις παρατηρούμενες καθιζήσεις, τόσο μεταξύ αρχικής και τελικής φάσης, όσο και σε μεταγενέστερες χρονικές στιγμές, για τον προσδιορισμό της μεταβολής τους με τον χρόνο.

Βιβλιογραφικές Αναφορές

1. Αγατζά - Μπαλοδήμου Α.Μ: Θεωρία Σφαλμάτων και Μέθοδος Ελαχίστων Τετραγώνων. Αθήνα 1990, Τομέας Τοπογραφίας ΤΑΤΜ - ΕΜΠ.
2. Αγατζά - Μπαλοδήμου Α.Μ: Στοιχεία Στατιστικής Ανάλυσης. Αθήνα 1982, Τομέας Τοπογραφίας ΤΑΤΜ - ΕΜΠ.
3. Αγατζά - Μπαλοδήμου Α.Μ - Γεωγόπουλος Γ.: Γεωδαιτικά δίκτυα για την παρακολούθηση των παραμορφώσεων και δινατότητα εφαρμογής στη Γεωτεχνική Μηχανική. Αθήνα 1989, Κ.Ε.Δ.Ε (τεύχη 103 - 104).
4. Αναγνωστόπουλον Γ.Α : Αρχές υπολογισμού καθιζήσεων. Αθήνα 1986, εκδόσεις Συμεών.
5. Γεωγόπουλος Γ.: Εντοπισμός καθιζήσεων στην περιοχή του Μοσχάτου. Δελτίο ΚΕΔΕ τ.107-108/1990.
6. Γκαζέτας Γ.: Σημειώσεις Εδαφομηχανικής. Αθήνα 1988, Τομέας Γεωτεχνικής ΤΠΜ - ΕΜΠ.
7. Θωμά Θ.- Σταμάτης Κ.- Σωτηρόπουλος Π.- Τζεμπερτζή Α.: Προσδιορισμός των πιθανών παραμορφώσεων των φερόντων στοιχείων του σταδίου Ειρήνης και Φιλίας. Επέκταση του δικτύου κατακορύφου ελέγχου. Αθήνα 1988, Διπλοματική εργασία Τομέας Τοπογραφίας ΤΑΤΜ - ΕΜΠ.
8. Λάμπρου Ε. - Πανταζής Γ.: Παρακολούθηση των παραμορφώσεων των φερόντων στοιχείων του σταδίου Ειρήνης και Φιλίας. Επέκταση του δικτύου κατακορύφου ελέγχου. Αθήνα 1990, Διπλοματι-

κή εργασία Τομέας Τοπογραφίας
ΤΑΤΜ - ΕΜΠ.

9. Λοΐζος Α.: Εδαφομηχανική - Θε-
μελιώσεις, τόμος I. Αθήνα 1975.
10. Μελέτη αναδιευθετήσεως Κηφι-
σού ποταμού από παραλιακής
λειωφόρου μέχρι κόμβου οδού Αγ.
Αννας. Αθήνα Σεπτ. 1975.
11. Μητσακάκη Χρ. - Σταθάς Δ. Ε-
λεγχος αξιοποιίας Γεωδαιτικού
Στοίχου (Parker et al., 1973), σύμβατη με
την επείγουσα την αδιατομής μετο-
ποτίσεων, η οποία γίνεται όποιο το
επίπλο της πόλης πως προστατεύεται
νομικά (Battou, Lien and Parker, 1973).

δικτύου για μελέτη μικρομετακι-
νήσεων στην περιοχή του Μόρονον
Φράγματος. Αθήνα 1983. Τεχν.
Χρον. Α τευχ. 1 - 4.

12. Μώκος Η.: Συνόρθωση και προ-
σομοίωση με H/Y μεγάλων δι-
κτύων με την M.E.T. Αθήνα 1987,
Διπλωματική εργασία Τομέας Το-
πογραφίας ΤΑΤΜ - ΕΜΠ.

13. Σαμπατακάκης Ν.: Τεχνικογεωλο-
γική έρευνα λεκανοπεδίου Αθη-
νών. Αθήνα 1990, Διδακτορική
διατριβή.

14. Τ.Α.Τ.Μ - Τομέας Τοπογραφίας
- Εργαστήριο Γενικής Γεωδαι-
σίας, Σημειώσεις Τεχνικής Γεω-
δαισίας. Αθήνα 1991.

ΠΟΛΙΤΙΚΗ ΣΥΝΕΡΓΑΣΙΑΣ ΣΤΟΝ ΤΟΜΕΑΣ ΤΟΠΟΓΡΑΦΙΑΣ

2. Εύλευς Μεταβολές Ανάπτυξης
Καταπολεμής Συρράγων



Επίσημη ανακοίνωση της Επιτροπής Πολιτικής Συνεργασίας της ΤΑΤΜ για την πρόσφατη ανακοίνωση της Επιτροπής Στρατηγικής Ανάπτυξης για την προστασία της περιοχής από την αναπτυξιακή πορεία της Αθηναϊκής Ευρωπαϊκής Μητροπόλεως. Η πρόσφατη ανακοίνωση της Επιτροπής Στρατηγικής Ανάπτυξης για την προστασία της περιοχής από την αναπτυξιακή πορεία της Αθηναϊκής Ευρωπαϊκής Μητροπόλεως (Ε.Α.Ε.Μ.Α.) αποτελεί

μια σημαντική πρόκληση για την πολιτική της ΤΑΤΜ για την προστασία της περιοχής από την αναπτυξιακή πορεία της Αθηναϊκής Ευρωπαϊκής Μητροπόλεως. Η πρόσφατη ανακοίνωση της Επιτροπής Στρατηγικής Ανάπτυξης για την προστασία της περιοχής από την αναπτυξιακή πορεία της Αθηναϊκής Ευρωπαϊκής Μητροπόλεως (Ε.Α.Ε.Μ.Α.) αποτελεί

μια σημαντική πρόκληση για την πολιτική της ΤΑΤΜ για την προστασία της περιοχής από την αναπτυξιακή πορεία της Αθηναϊκής Ευρωπαϊκής Μητροπόλεως (Ε.Α.Ε.Μ.Α.). Η πρόσφατη ανακοίνωση της Επιτροπής Στρατηγικής Ανάπτυξης για την προστασία της περιοχής από την αναπτυξιακή πορεία της Αθηναϊκής Ευρωπαϊκής Μητροπόλεως (Ε.Α.Ε.Μ.Α.) αποτελεί

μια σημαντική πρόκληση για την πολιτική της ΤΑΤΜ για την προστασία της περιοχής από την αναπτυξιακή πορεία της Αθηναϊκής Ευρωπαϊκής Μητροπόλεως (Ε.Α.Ε.Μ.Α.) αποτελεί